

## รายการอ้างอิง

### ภาษาไทย

กิตติพงษ์ สิทธิเลิศพิศาล. วงจรรองกำลังแอกทีฟแบบอนุกรมสำหรับลดฮาร์มอนิกและรักษาระดับแรงดัน. วิทยานิพนธ์วิศวกรรมศาสตรมหาบัณฑิต จุฬาลงกรณ์มหาวิทยาลัย, 2539.

สรรคัทธิพงษ์ โขมิตเกษม , สมบูรณ์ แสงวงศ์วานิชย์ , วงจรรองกำลังแอกทีฟผสมพาสซีฟแบบขนานสำหรับลดฮาร์มอนิก , การประชุมวิชาการทางวิศวกรรมไฟฟ้า ครั้งที่ 19 , 2539

### ภาษาอังกฤษ

- A.Salem nia and S.Saadate , “Digital Control Active Filter Suppressing Particular Harmonics : Numerical Simulation and Experimentation” , Proc. of ICHQP-Las Vegas , pp.632-636, 1996.
- F.Z.Peng , “The Combined System of Passive and Series Active Filters” , Dissertation , Nagaoka University of Technology , February 1990.
- F.Z.Peng , H.Akagi , A.Nabae , “A Study of Active Filters Using Quad-Series Voltage-Source PWM Converters for Harmonic Compensation” , IEEE/PESC , pp.204-211 , 1987.
- F.Z.Peng , M.Kohata , and H.Akagi , “Compensation Characteristic of Shunt Active and Series Active Filters” , Chinese-Japanese Power Electronics Conference , pp.381-387 , 1992.
- H.Akagi and A.Nabae , “Control Strategy of Active Power Filters Using Multiple Voltage-Source PWM Converters” , IEEE Tran. Ind. App. Vol. IA-22 , No.3 May/June , pp. 460-465 , 1986.
- H.Akagi , Y.Kanazawa , and A.Nabae , “Generalized Theory of the Instantaneous Reactive Power in Three-Phase Circuits” , Proc.of IPEC-Tokyo , pp.1375-1386 , 1983.
- IEEE Standard 519-1992 , “IEEE Recommended Practices and Requirements for Harmonic Control in Electrical Power Systems” , IEEE , pp. 78 , 1992.

K.Ito , M.Aoki , and Y.Tsunehiro , “Improving the Behavior of Active Filter for Power Distribution System” , T.IEE Japan , Vol.116-D , No.10 ,pp.1079-1080 , 1996.

M.Takeda , K.Ikeda , and Y.Tominaga , “Harmonic Current Compensation with Active Filter” , IEEE/PESC , pp.808-815 , 1987.

N.Nanaumi , S.Kuramoti , and M.Yano , “Comparision of Versatile Harmonics Current Compensation and Specific Harmonics Number Current Compensation” , Conf. Rec. of Japan IAS , pp.407-410 , 1996.



ศูนย์วิทยทรัพยากร  
จุฬาลงกรณ์มหาวิทยาลัย



ภาคผนวก

ศูนย์วิทยทรัพยากร  
จุฬาลงกรณ์มหาวิทยาลัย

## ภาคผนวก ก

## การพิจารณาฟังก์ชันโอนย้ายของระบบเมื่อมีการหมุนแกนอ้างอิง

(กิตติพงษ์ สิริเลิศพิศาล, 2539)

ในการพิจารณาฟังก์ชันโอนย้ายของวงจรกรองผ่านแถบเพื่อคำนวณหาองค์ประกอบฮาร์มอนิกของกระแส นั้น เมื่อเราพิจารณาบนแกนอ้างอิงที่หมุนไปด้วยความเร็วเท่ากับความเร็วหลักมูลจะได้ว่า

$$\begin{bmatrix} i_{sdh} \\ i_{sqh} \end{bmatrix} = F(s) \cdot \begin{bmatrix} i_{sd} \\ i_{sq} \end{bmatrix} \quad (\text{ก.1})$$

สมมติให้ฟังก์ชันโอนย้าย  $F(s) = M(s)/N(s)$  โดยที่  $M(s)$  ,  $N(s)$  เป็นพหุนาม (polynomials) อันดับที่  $m$  และ  $n$  ตามลำดับ เราจะสามารถเขียนสมการ(ก.1) ได้เป็น

$$N(s) \cdot \begin{bmatrix} i_{sdh} \\ i_{sqh} \end{bmatrix} = M(s) \cdot \begin{bmatrix} i_{sd} \\ i_{sq} \end{bmatrix} \quad (\text{ก.2})$$

จากสมการ(2.18) เราสามารถหาความสัมพันธ์ระหว่างการหาอนุพันธ์บนแกนหมุนกับการหาอนุพันธ์บนแกนนิ่งได้ดังต่อไปนี้คือ

$$s \begin{bmatrix} i_{sd} \\ i_{sq} \end{bmatrix} = s \begin{bmatrix} \cos(\omega t) & \sin(\omega t) \\ -\sin(\omega t) & \cos(\omega t) \end{bmatrix} \begin{bmatrix} i_{s\alpha} \\ i_{s\beta} \end{bmatrix} \quad (\text{ก.3})$$

โดยที่

$$\begin{bmatrix} i_{s\alpha} \\ i_{s\beta} \end{bmatrix} = \sqrt{\frac{2}{3}} \begin{bmatrix} 1 & -\frac{1}{2} & -\frac{1}{2} \\ 0 & \frac{\sqrt{3}}{2} & -\frac{\sqrt{3}}{2} \end{bmatrix} \begin{bmatrix} i_{su} \\ i_{sv} \\ i_{sw} \end{bmatrix}$$

จากสมการ(ก.3) จะได้ว่า

$$\begin{aligned}
S \begin{bmatrix} i_{sd} \\ i_{sq} \end{bmatrix} &= S \begin{bmatrix} i_{s\alpha} \cdot \cos(\omega t) + i_{s\beta} \cdot \sin(\omega t) \\ -i_{s\alpha} \cdot \sin(\omega t) + i_{s\beta} \cdot \cos(\omega t) \end{bmatrix} \\
&= \begin{bmatrix} -i_{s\alpha} \cdot \omega \cdot \sin(\omega t) + \cos(\omega t) \cdot si_{s\alpha} + i_{s\beta} \cdot \omega \cdot \cos(\omega t) + \sin(\omega t) \cdot si_{s\beta} \\ -i_{s\alpha} \cdot \omega \cdot \cos(\omega t) - \sin(\omega t) \cdot si_{s\alpha} - i_{s\beta} \cdot \omega \cdot \sin(\omega t) + \cos(\omega t) \cdot si_{s\beta} \end{bmatrix} \\
&= \begin{bmatrix} \cos(\omega t) \cdot (si_{s\alpha} + \omega \cdot i_{s\beta}) + \sin(\omega t) \cdot (si_{s\beta} - \omega \cdot i_{s\alpha}) \\ -\sin(\omega t) \cdot (si_{s\alpha} + \omega \cdot i_{s\beta}) + \cos(\omega t) \cdot (si_{s\beta} - \omega \cdot i_{s\alpha}) \end{bmatrix} \\
&= \begin{bmatrix} \cos(\omega t) & \sin(\omega t) \\ -\sin(\omega t) & \cos(\omega t) \end{bmatrix} \begin{bmatrix} s & \omega \\ -\omega & s \end{bmatrix} \begin{bmatrix} i_{s\alpha} \\ i_{s\beta} \end{bmatrix} \tag{ก.4}
\end{aligned}$$

ในการทำงานเดียวกันสำหรับการหาอนุพันธ์อันดับที่  $n$  เราสามารถคำนวณได้ว่า

$$S^n \begin{bmatrix} i_{sd} \\ i_{sq} \end{bmatrix} = \begin{bmatrix} \cos(\omega t) & \sin(\omega t) \\ -\sin(\omega t) & \cos(\omega t) \end{bmatrix} \begin{bmatrix} s & \omega \\ -\omega & s \end{bmatrix}^n \begin{bmatrix} i_{s\alpha} \\ i_{s\beta} \end{bmatrix} \tag{ก.5}$$

ดังนั้นจากสมการ(ก.2) เนื่องจากทั้ง  $M(s)$  และ  $N(s)$  เป็นพหุนาม เราจึงสามารถใช้ความสัมพันธ์(ก.5) แทนในแต่ละพจน์ของ  $M(s)$  และ  $N(s)$  ได้ และเราจะสามารถเขียนใหม่ได้เป็น

$$\begin{aligned}
\begin{bmatrix} \cos(\omega t) & \sin(\omega t) \\ -\sin(\omega t) & \cos(\omega t) \end{bmatrix} \cdot N(\lambda) \Big|_{\lambda = \begin{bmatrix} s & \omega \\ -\omega & s \end{bmatrix}} \cdot \begin{bmatrix} i_{sah} \\ i_{s\beta h} \end{bmatrix} &= \\
\begin{bmatrix} \cos(\omega t) & \sin(\omega t) \\ -\sin(\omega t) & \cos(\omega t) \end{bmatrix} \cdot M(\lambda) \Big|_{\lambda = \begin{bmatrix} s & \omega \\ -\omega & s \end{bmatrix}} \cdot \begin{bmatrix} i_{s\alpha} \\ i_{s\beta} \end{bmatrix} & \tag{ก.6}
\end{aligned}$$

เมื่อพิจารณาฟังก์ชันโอนย้ายของวงจรกรองผ่านแถบแบนแกนนิ่ง จะได้ว่า

$$N(\lambda) \Big|_{\lambda = \begin{bmatrix} s & \omega \\ -\omega & s \end{bmatrix}} \cdot \begin{bmatrix} i_{sah} \\ i_{s\beta h} \end{bmatrix} = M(\lambda) \Big|_{\lambda = \begin{bmatrix} s & \omega \\ -\omega & s \end{bmatrix}} \cdot \begin{bmatrix} i_{s\alpha} \\ i_{s\beta} \end{bmatrix} \tag{ก.7}$$

ดังนั้นเราจะได้ฟังก์ชันโอนย้ายบนแกนนิ่งเป็น

$$\begin{bmatrix} i_{sah} \\ i_{s\beta h} \end{bmatrix} = \left[ N(\lambda) \Big|_{\lambda = \begin{bmatrix} s & \omega \\ -\omega & s \end{bmatrix}} \right]^{-1} * \left[ M(\lambda) \Big|_{\lambda = \begin{bmatrix} s & \omega \\ -\omega & s \end{bmatrix}} \right] \begin{bmatrix} i_{s\alpha} \\ i_{s\beta} \end{bmatrix} \tag{ก.8}$$



เมื่อย้ายไปพิจารณาบนแกนลำดับบวก (positive sequence) และลำดับลบ (negative sequence) โดยมีนิยามการแปลงแกนดังนี้คือ

$$\begin{bmatrix} i_{sph} \\ i_{snh} \end{bmatrix} = [C] \begin{bmatrix} i_{s\alpha h} \\ i_{s\beta h} \end{bmatrix}, \begin{bmatrix} i_{sp} \\ i_{sn} \end{bmatrix} = [C] \begin{bmatrix} i_{s\alpha} \\ i_{s\beta} \end{bmatrix} \quad (\text{ก.9})$$

โดยที่

$$[C] = \frac{1}{\sqrt{2}} \begin{bmatrix} 1 & j \\ 1 & -j \end{bmatrix}$$

เราจะสามารถเขียนฟังก์ชันโอนย้ายตามสมการ(ก.8) บนแกนลำดับบวกและลำดับลบ ได้เป็น

$$\begin{aligned} \begin{bmatrix} i_{sph} \\ i_{snh} \end{bmatrix} &= [C] \left[ N(\lambda) \right]_{\lambda=\begin{bmatrix} s & \omega \\ -\omega & s \end{bmatrix}}^{-1} [C]^{-1} [C] \left[ M(\lambda) \right]_{\lambda=\begin{bmatrix} s & \omega \\ -\omega & s \end{bmatrix}} [C]^{-1} \begin{bmatrix} i_{sp} \\ i_{sn} \end{bmatrix} \\ &= \left\{ [C] \left[ N(\lambda) \right]_{\lambda=\begin{bmatrix} s & \omega \\ -\omega & s \end{bmatrix}} [C]^{-1} \right\}^{-1} \left\{ [C] \left[ M(\lambda) \right]_{\lambda=\begin{bmatrix} s & \omega \\ -\omega & s \end{bmatrix}} [C]^{-1} \right\} \begin{bmatrix} i_{sp} \\ i_{sn} \end{bmatrix} \\ &= \left[ N(P) \right]_{P=[C] \begin{bmatrix} s & \omega \\ -\omega & s \end{bmatrix} [C]^{-1}}^{-1} \left[ M(P) \right]_{P=[C] \begin{bmatrix} s & \omega \\ -\omega & s \end{bmatrix} [C]^{-1}} \begin{bmatrix} i_{sp} \\ i_{sn} \end{bmatrix} \\ &= \left[ N(P) \right]_{P=\begin{bmatrix} s-j\omega & 0 \\ 0 & s+j\omega \end{bmatrix}}^{-1} \left[ M(P) \right]_{P=\begin{bmatrix} s-j\omega & 0 \\ 0 & s+j\omega \end{bmatrix}} \begin{bmatrix} i_{sp} \\ i_{sn} \end{bmatrix} \\ \begin{bmatrix} i_{sph} \\ i_{snh} \end{bmatrix} &= \begin{bmatrix} F(s-j\omega) & 0 \\ 0 & F(s+j\omega) \end{bmatrix} \begin{bmatrix} i_{sp} \\ i_{sn} \end{bmatrix} \end{aligned} \quad (\text{ก.10})$$

สมการบนของสมการ (ก.10) สามารถเขียนได้เป็น

$$\begin{bmatrix} i_{s\alpha h} + j i_{s\beta h} \end{bmatrix} = F(s-j\omega) \begin{bmatrix} i_{s\alpha} + j i_{s\beta} \end{bmatrix} \quad (\text{ก.11})$$

จากสมการ (ก.11) เมื่อเราใส่สังยุค (conjugate) ทั้งสองข้างของสมการ (โดยคิดว่า  $s$  คือตัวดำเนินการอนุพันธ์ดังนั้น  $s^* = s$ ) จะได้

$$\begin{aligned} \begin{bmatrix} i_{s\alpha h} + j i_{s\beta h} \end{bmatrix}^* &= \left\{ F(s-j\omega) \begin{bmatrix} i_{s\alpha} + j i_{s\beta} \end{bmatrix} \right\}^* \\ &= [F(s-j\omega)]^* \begin{bmatrix} i_{s\alpha} + j i_{s\beta} \end{bmatrix}^* \end{aligned}$$

$$= F(s^* + j\omega) [i_{s\alpha} - ji_{s\beta}]$$

$$[i_{s\alpha h} - ji_{s\beta h}] = F(s + j\omega) [i_{s\alpha}^* - ji_{s\beta}] \quad (ก.12)$$

จะพบว่าสมการ (ก.12) เป็นสมการเดียวกันกับสมการล่างของสมการ (ก.10) ซึ่งแสดงให้เห็นว่าสมการ (ก.10) ถึงแม้ว่าจะดูเหมือนมีลักษณะเป็นสมการอิสระ 2 สมการ แต่ในความเป็นจริงสมการทั้งสองเป็นเพียงค่าสังยุคของกันและกัน ดังนั้นเราจึงเลือกใช้เพียงสมการเดียวก็เพียงพอ และเนื่องจากระบบแกนอ้างอิงที่เราใช้นั้นเป็นแบบลำดับบวก เราจึงเลือกใช้ความสัมพันธ์ตามสมการ (ก.11)

กล่าวโดยสรุปก็คือเมื่อฟังก์ชันโอนย้ายของระบบที่พิจารณาบนแกนอ้างอิงที่หมุนไปด้วยความเร็ว  $\omega$  rad/s. เป็น  $F(s)$  เมื่อเรานำกลับมาพิจารณาบนแกนนิ่งจะได้ฟังก์ชันโอนย้ายของระบบเป็น  $F(s-j\omega)$  โดยกรณีที่สัญญาณเป็นลำดับบวกจะแทน  $s$  ด้วยค่าความถี่ที่เป็นบวกและจะแทน  $s$  ด้วยค่าความถี่ที่เป็นลบในกรณีที่สัญญาณเป็นลำดับลบ อย่างไรก็ตามในกรณีที่จะนำฟังก์ชันโอนย้ายดังกล่าวไปเขียนแผนภูมิโพลเด้นนั้นเนื่องจากการเขียนแผนภูมิโพลเด้นจะเขียนได้เฉพาะความถี่ที่เป็นบวกเท่านั้น ดังนั้นจะต้องเขียนแผนภูมิโพลเด้นจากฟังก์ชันโอนย้าย  $F(s-j\omega)$  สำหรับกรณีที่ลำดับบวก และในกรณีที่ลำดับลบจะต้องเขียนแผนภูมิโพลเด้นจากฟังก์ชันโอนย้าย  $F(s+j\omega)$  โดยในกรณีนี้แผนภูมิโพลเด้นจะให้เฟสที่มีเครื่องหมายตรงกันข้ามกับความเป็นจริง ( เนื่องจากสมการบนและสมการล่างของสมการ (ก.10) เป็นค่าสังยุคของกันและกันจึงให้เฟสที่มีเครื่องหมายตรงข้ามกัน )

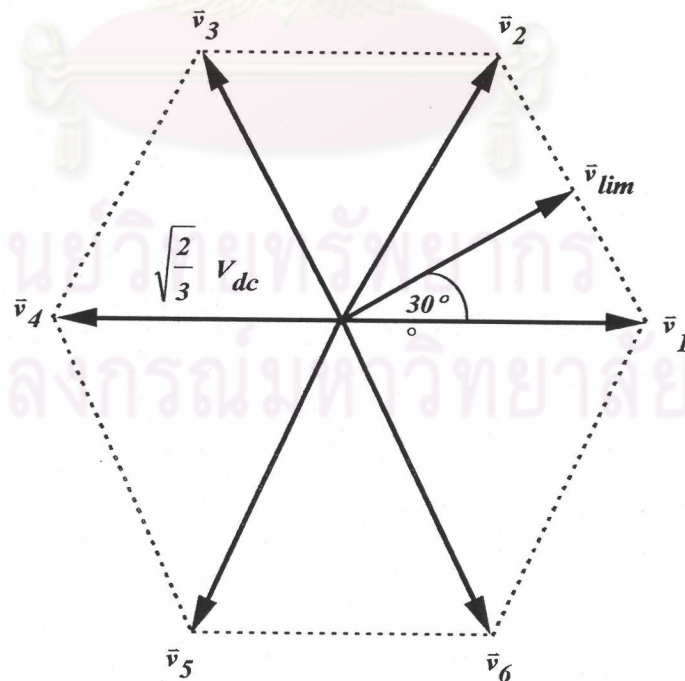
ศูนย์วิทยทรัพยากร  
จุฬาลงกรณ์มหาวิทยาลัย

## ภาคผนวก ข

## การออกแบบตัวควบคุม PI สำหรับควบคุมระดับแรงดันไฟตรง

(กิติพจน์ ลิทธิเลิศพิศาล, 2539)

จากทฤษฎีกำลังงานรีแอกทีฟขณะใด ๆ (ดูบทที่ 2) จะพบว่ากำลังงานส่วนที่ทำให้เกิดกระแสฮาร์มอนิกนั้นจะเป็นองค์ประกอบไฟสลับ ( $\tilde{p}$  และ  $\tilde{q}$ ) ดังนั้นค่ากำลังงานที่ไหลเข้าออกจากอินเวอร์เตอร์ของวงจรกรองกำลังแอกทีฟใน 1 คาบเวลาจึงมีค่าเป็นศูนย์ ด้วยเหตุนี้เอง ส่วนของอินเวอร์เตอร์ที่ใช้ในวงจรกรองกำลังแอกทีฟจึงไม่จำเป็นต้องมีวงจรเรียงกระแสเพื่อจ่ายกำลังงานให้กับตัวเก็บประจุไฟตรงเหมือนอินเวอร์เตอร์ทั่วไป แต่จะอาศัยการควบคุมกำลังงานที่ไหลเข้าออกจากระบบในการควบคุมแรงดันไฟตรงที่จำเป็นต่อการทำงานของอินเวอร์เตอร์แทน โดยในขณะที่แรงดันบัสไฟตรงมีค่าต่ำกว่าค่าที่กำหนด วงจรกรองกำลังแอกทีฟก็จะถูกควบคุมให้ดึงกำลังงานป้อนเข้าสู่อินเวอร์เตอร์เพื่อนำไปสะสมในตัวเก็บประจุทำให้แรงดันบัสไฟตรงคร่อมตัวเก็บประจุมีค่าสูงขึ้น ในทางกลับกันขณะที่แรงดันบัสไฟตรงมีค่าสูงกว่าค่าที่กำหนด วงจรกรองแอกทีฟก็ถูกควบคุมให้จ่ายกำลังงานออกไปจากอินเวอร์เตอร์ทำให้แรงดันบัสไฟตรงมีค่าต่ำลง สำหรับการคำนวณหาค่าแรงดันที่จำเป็นต่อการทำงานของอินเวอร์เตอร์ในงานวิจัยนี้สามารถทำได้โดยเริ่มต้นจากการพิจารณาขอบเขตของขนาดเวกเตอร์แรงดันที่อินเวอร์เตอร์สามารถสร้างได้ดังแสดงในรูปที่ ข.1



รูปที่ ข.1 แสดงขอบเขตของขนาดเวกเตอร์แรงดันที่อินเวอร์เตอร์สามารถสร้างได้



เวกเตอร์แรงดันที่อินเวอร์เตอร์สามารถสร้างได้จะต้องมีขนาดไม่เกินหกเหลี่ยมดังนั้น จากรูปที่ ข.1 จะพบว่าขอบเขตต่ำที่สุดของขนาดเวกเตอร์แรงดันที่อินเวอร์เตอร์สามารถสร้างได้คือเวกเตอร์ที่ตั้งฉากกับแต่ละด้านของหกเหลี่ยมซึ่งมีค่าเป็นดังสมการ (ข.1)

$$|\vec{v}_{\text{lim}}| = \sqrt{\frac{2}{3}} V_{dc} \cos 30^\circ = \frac{V_{dc}}{\sqrt{2}} \quad (\text{ข.1})$$

โดยที่  $V_{dc}$  คือค่าแรงดันบัสไฟตรงที่อินเวอร์เตอร์ใช้ในการสร้างเวกเตอร์แรงดัน  
 $|\vec{v}_{\text{lim}}|$  คือขอบเขตต่ำที่สุดของขนาดเวกเตอร์แรงดันที่อินเวอร์เตอร์สามารถสร้างได้

เวกเตอร์แรงดันที่อินเวอร์เตอร์จะต้องสร้างเพื่อใช้ในการสร้างกระแสชดเชยสามารถคำนวณได้จากสมการ (ข.2) และจากสมการ (ข.2) เราสามารถเขียนทางเดินของเวกเตอร์แรงดันดังกล่าว (ในระนาบ  $\alpha$ - $\beta$ ) ได้ดังรูปที่ ข.2

$$\vec{v}^* = \vec{e} + L \frac{di_c}{dt} \quad (\text{ข.2})$$

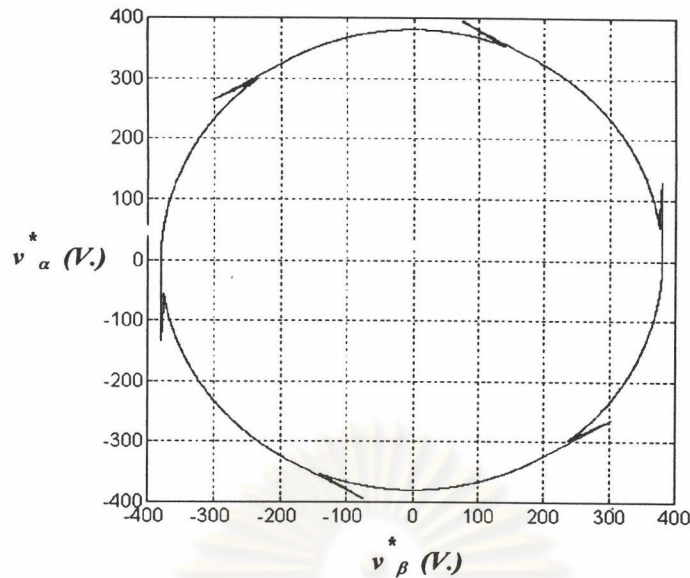
โดยที่  $\vec{v}^*$  คือเวกเตอร์แรงดันที่อินเวอร์เตอร์ต้องสร้าง

$\vec{e}$  คือเวกเตอร์แรงดันของแหล่งจ่ายสามเฟส (ขนาดแรงดันระหว่างสายเท่ากับ 380 V.)  
 ซึ่งคำนวณได้ตามสมการ (2.5)

$L$  คือค่าความเหนี่ยวนำรั่วไหลของหม้อแปลงที่ใช้เชื่อมโยงระบบมีค่าเท่ากับ 4.47 mH.  
 $\frac{di_c}{dt}$  คือค่าอัตราการเปลี่ยนแปลงของกระแสชดเชยที่จะสร้าง (ดูขนาดและรูปคลื่นกระแสชดเชยที่ใช้ในการหาทางเดินของเวกเตอร์แรงดันได้ในผลการจำลองการทำงานกรณี ที่ 1 บทที่ 4)

จากรูป ข.2 จะพบว่าช่วงที่มีการเปลี่ยนแปลงของกระแสอย่างมากขนาดของเวกเตอร์แรงดันที่อินเวอร์เตอร์ต้องสร้างจะมีค่ามาก ซึ่งจากรูปเราสามารถประมาณขนาดสูงสุดของเวกเตอร์แรงดันที่อินเวอร์เตอร์ต้องสร้างได้เท่ากับ 410 V. และจากขนาดสูงสุดดังกล่าวทำให้เราสามารถคำนวณค่าแรงดันบัสไฟตรงที่จำเป็นต่อการสร้างกระแสชดเชยได้ดังสมการ (ข.3)

$$\begin{aligned} |\vec{v}_{\text{lim}}| &= \frac{V_{dc}}{\sqrt{2}} \geq 410 \\ V_{dc} &\geq 580 \quad \text{V.} \end{aligned} \quad (\text{ข.3})$$



รูปที่ ข.2 แสดงทางเดินของเวกเตอร์แรงดันที่อินเวอร์เตอร์ต้องสร้าง

จากสมการ (ข.3) หมายความว่าขนาดแรงดันบัลไฟตรงที่จำเป็นต่อการทำงานของอินเวอร์เตอร์จะต้องมีอย่างน้อย 580 V. เพื่อให้ได้ผลการควบคุมกระแสที่ดีในงานวิจัยนี้จะเลือกใช้ค่าแรงดันบัลไฟตรงเท่ากับ 700 V. ซึ่งเมื่อใช้การควบคุมกระแสแบบฮิสเตอร์ซิสที่มีความกว้างของแถบฮิสเตอร์ซิสเท่ากับ  $\pm 0.5$  A. ( $\Delta i = 1$  A.) จะทำให้ได้ความถี่การสวิตช์ ( $f_{sw}$ ) โดยเฉลี่ยประมาณ 10 kHz (ดูสมการ ข.4)

$$f_{sw} = \frac{V_{dc} - e_{line}}{2\sqrt{3}L\Delta i} \quad (\text{ข.4})$$

โดยที่  $e_{line}$  คือค่ายอดของแรงดันระหว่างสายมีค่าเท่ากับ  $380\sqrt{2}$  V.

แต่อย่างไรก็ตามเนื่องจากสวิตช์กำลังที่ใช้ในอินเวอร์เตอร์สามารถทนแรงดันได้สูงสุดไม่เกิน 600 V. ดังนั้นจึงใช้หม้อแปลงเชื่อมโยงระบบที่มีค่าอัตราส่วนจำนวนรอบเป็น 2:1 เพื่อลดขนาดแรงดันบัลไฟตรงลงมา ซึ่งจะทำให้ค่าแรงดันบัลไฟตรงที่ใช้ลดลงมาเหลือเพียง 350 V. เท่านั้น

ในการออกแบบตัวควบคุม PI จะเริ่มจากการเขียนแบบจำลองทางคณิตศาสตร์ของส่วนควบคุมแรงดันบัลไฟตรงเป็นบล็อกไดอะแกรมซึ่งเมื่อรวมกับบล็อกไดอะแกรมในส่วนของตัวควบคุม PI และวงจรกรองสัญญาณรบกวนแล้วสามารถแสดงได้ดังรูปที่ ข.3 โดยที่ในการเขียนแบบจำลองทางคณิตศาสตร์ของส่วนควบคุมแรงดันบัลไฟตรงจะอาศัยสมการพลังงานดังในสมการที่ (ข.5)

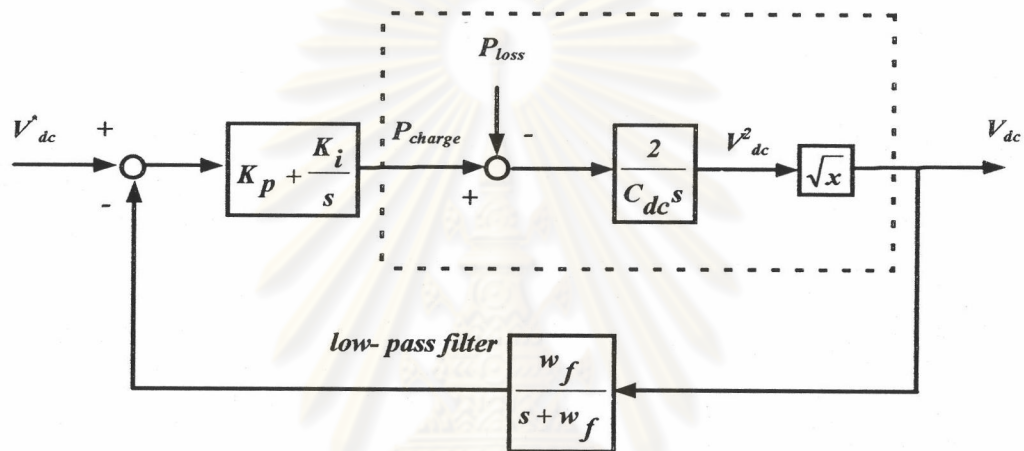
$$P_{charge} - P_{loss} = v_{dc}(t)i_{dc}(t) = v_{dc}(t)C_{dc} \frac{dv_{dc}}{dt} = \frac{1}{2}C_{dc} \frac{d(v_{dc}^2)}{dt} \quad (\text{ข.5})$$

โดยที่  $P_{charge}$  คือ ค่ากำลังงานที่ไหลเข้าอินเวอร์เตอร์

$P_{loss}$  คือ ค่ากำลังงานสูญเสียต่าง ๆ ของอินเวอร์เตอร์

$i_{dc}$  คือ ค่ากระแสที่ไหลเข้าออกจากอินเวอร์เตอร์

$C_{dc}$  คือ ตัวเก็บประจุไฟตรง



รูปที่ ข.3 บล็อกไดอะแกรมของส่วนควบคุมแรงดันบัสไฟตรงที่ใช้ในการออกแบบ

จากบล็อกไดอะแกรมจะพบว่ามีส่วนของการถอดรากที่สองซึ่งเป็นส่วนที่ไม่เชิงเส้น (nonlinear) ทำให้เกิดความยุ่งยากในการออกแบบ ดังนั้นจึงต้องทำการเปลี่ยนให้อยู่ในรูปแบบที่เป็นเชิงเส้น (linearization) ในช่วงการทำงานแคบ ๆ โดยจะใช้อนุกรมเทย์เลอร์ถึงอันดับที่ 1 ในการประมาณการถอดรากที่สองให้เป็นความสัมพันธ์เชิงเส้น ณ จุดทำงานที่  $v_{dc} = 350 \text{ V}$ . หรือ  $x_0 = 350^2 \text{ V}^2$  ซึ่งสามารถแสดงดังนี้คือ

$$\begin{aligned} y(x) &= \sqrt{x} = \sqrt{x_0 + \Delta x} \approx \sqrt{x_0} + \left. \frac{d\sqrt{x}}{dx} \right|_{x=x_0} \cdot \Delta x \\ &\approx \sqrt{x_0} + \frac{1}{2\sqrt{x_0}} \cdot \Delta x \\ &\approx \sqrt{x_0} + \frac{1}{2\sqrt{x_0}} \cdot (x - x_0) \end{aligned} \quad (\text{ข.6})$$

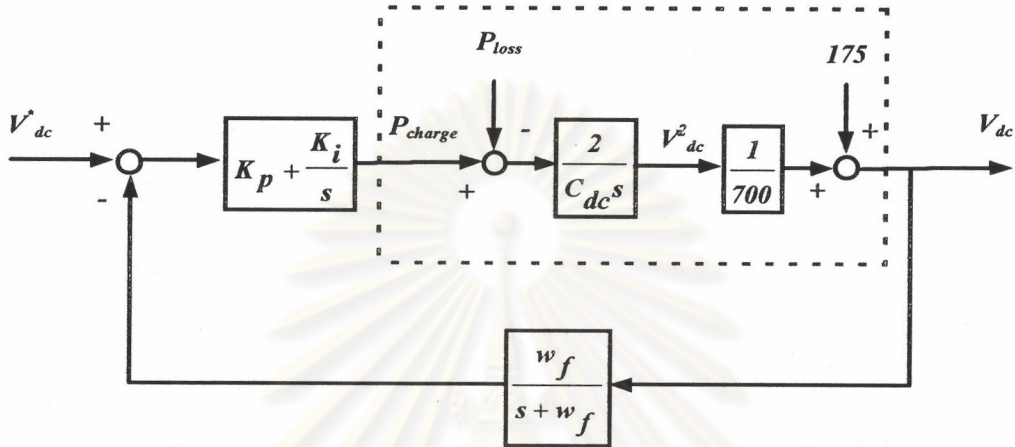
เมื่อแทนค่า  $x_0 = 350^2 \text{ V}^2$  ลงในสมการ (ข.6) จะได้

$$y(x) \approx 350 + \frac{1}{700}(x - 350^2)$$



$$\approx 175 + \frac{1}{700}x \tag{ข.7}$$

เมื่อทำการประมาณเป็นเชิงเส้นแล้วสามารถเขียนเป็นบล็อกไดอะแกรมได้ดังรูปที่ ข.4 จากบล็อกไดอะแกรมสามารถเขียนฟังก์ชัน โอนย้ายวงรอบเปิดได้ดังสมการ (ข.8)



รูปที่ ข.4 บล็อกไดอะแกรมของส่วนควบคุมแรงดันบัลไฟตรงเมื่อทำการประมาณเป็นเชิงเส้น

$$G_o(s) = \left(K_p + \frac{K_i}{s}\right) \times \left(\frac{\omega_f}{s + \omega_f}\right) \times \left(\frac{1}{350C_{dc}s}\right) \tag{ข.8}$$

เมื่อแทนค่าพารามิเตอร์ต่าง ๆ ของระบบดังต่อไปนี้คือ  $C_{dc} = 1260 \mu\text{F}$  ,  $\omega_f = 100\pi$  rad/s. จะได้ดังสมการ(ข.9)

$$G_o(s) = \frac{712.38}{s(s + 314.16)} \times \left(K_p + \frac{K_i}{s}\right) \tag{ข.9}$$

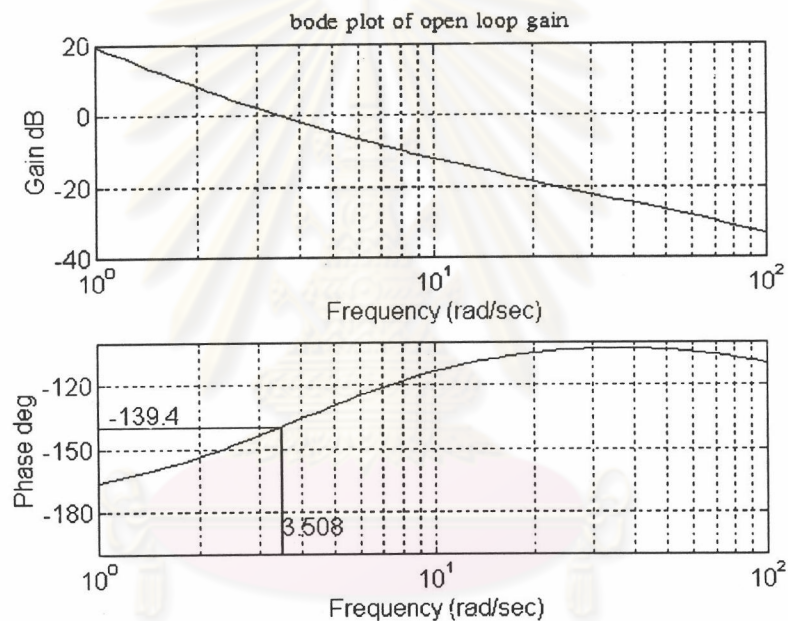
เมื่อพิจารณาในเรื่องของความเร็วในการตอบสนองแล้วเราไม่ควรออกแบบวงรอบควบคุมแรงดันบัลไฟตรงให้มีความเร็วในการตอบสนองถึงย่านความถี่ของฮาร์มอนิกเพราะจะทำให้กำลังงานรีแอกทีฟเนื่องจากกระแสฮาร์มอนิกไม่สามารถไหลเข้าสู่วงจรกรองแอกทีฟได้ ซึ่งจะทำให้วงจรกรองแอกทีฟไม่ชดเชยฮาร์มอนิกในส่วนนี้ด้วย จากเหตุผลดังกล่าวในงานวิจัยนี้จึงออกแบบให้วงรอบการควบคุมแรงดันบัลไฟตรงมีค่าความเร็วในการตอบสนองประมาณ 1.5 วินาที ซึ่งทำได้โดยเลือกความถี่ตัดข้าม (cross over frequency)  $\omega_0 = 3.5$  rad/s. และเลือกค่าความถี่หักมุม (cut-off frequency) ของ PI ( $K_i/K_p$ )  $\omega_c = 4$  rad/s. ซึ่งเป็นค่าที่ให้



ช่วงปลอดภัยเชิงเฟส (phase margin) ที่เพียงพอสำหรับเสถียรภาพในการควบคุม ดังนั้นเราจะได้ว่า

$$|G_o(j\omega_o)| = \left| \frac{712.38}{(j3.5)(j3.5 + 314.16)} \times \left( K_p + \frac{4K_p}{j3.5} \right) \right| = 1 \quad (\text{ข.10})$$

จากสมการ (ข.10) ทำให้สามารถหาค่า  $K_p$  ได้เท่ากับ 1.02 และ  $K_i = 4K_p = 4.08$  จากค่า  $K_p$  และ  $K_i$  ที่ได้เมื่อทำการเขียนแผนภูมิโบเดของฟังก์ชันโอนย้ายวงรอบเปิดคั่งรูปที่ ข.5 จะสามารถหาค่าช่วงปลอดภัยเชิงอัตราขยาย (gain margin) และช่วงปลอดภัยเชิงเฟสของระบบได้เป็น อนันต์ และ 40.6 องศา ตามลำดับ

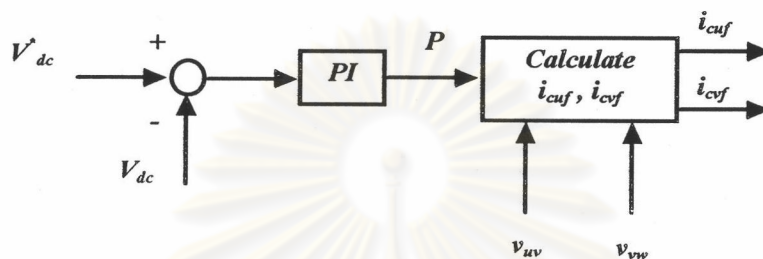


รูปที่ ข.5 ช่วงปลอดภัยเชิงอัตราขยายและช่วงปลอดภัยเชิงเฟสของระบบควบคุมแรงดันบัสไฟตรง

เนื่องจากสัญญาณที่ได้ออกมาจากตัวควบคุม PI จะเป็นค่ากำลังงาน P แต่ในทางปฏิบัติเราต้องการสัญญาณที่ออกมาเป็นคำสั่งกระแส ( $i_c$ ) ดังนั้นจึงต้องทำการเปลี่ยนค่ากำลังงาน P ไปเป็นคำสั่งกระแสโดยอาศัยสมการ (ข.11) และสามารถเขียนบล็อกไดอะแกรมแสดงส่วนการควบคุมแรงดันบัสไฟตรงได้ดังรูปที่ ข.6

$$\begin{bmatrix} i_{cuf} \\ i_{cvf} \\ i_{cwf} \end{bmatrix} = \left( \frac{1}{(v_{uv} + v_{vw})^2 - v_{uv}v_{vw}} \right) \begin{bmatrix} v_{uv} + \frac{v_{vw}}{2} \\ -\frac{v_{uv}}{2} + \frac{v_{vw}}{2} \\ -\frac{v_{uv}}{2} - \frac{v_{vw}}{2} \end{bmatrix} \cdot P \quad (9.11)$$

เมื่อ  $v_{uv}$  และ  $v_{vw}$  คือแรงดันสายระหว่างเฟส u กับ v และ ระหว่างเฟส v กับ w ตามลำดับ



รูปที่ ข.6 บล็อกไดอะแกรมแสดงส่วนควบคุมแรงดันบัสไฟตรงที่ใช้งานจริง

ศูนย์วิทยทรัพยากร  
จุฬาลงกรณ์มหาวิทยาลัย



### ประวัติผู้เขียน

นายสรรคร์พงษ์ โนมิตเกษม เกิดเมื่อวันที่ 15 ธันวาคม พ.ศ. 2516 ที่เขตบางขุนเทียน กรุงเทพมหานคร สำเร็จการศึกษาระดับปริญญาวิศวกรรมศาสตรบัณฑิต (เกียรตินิยมอันดับสอง) สาขาวิศวกรรมไฟฟ้า (ไฟฟ้ากำลัง) จากจุฬาลงกรณ์มหาวิทยาลัย ปีการศึกษา 2537 และ ได้เข้าศึกษาต่อในหลักสูตรวิศวกรรมศาสตรมหาบัณฑิต สาขาวิศวกรรมไฟฟ้า (อิเล็กทรอนิกส์กำลัง) ณ ภาควิชาวิศวกรรมไฟฟ้า คณะวิศวกรรมศาสตร์ จุฬาลงกรณ์มหาวิทยาลัย ในปีการศึกษา 2538



ศูนย์วิทยทรัพยากร  
จุฬาลงกรณ์มหาวิทยาลัย